

### Цифровая кардиология сегодня

### Копылов Филипп Юрьевич

директор Института персонализированной кардиологии Сеченовский Университет 01 ноября 2023

Нет конфликта интересов

### План лекции создан чат-ботом с ИИ

- Введение
- **Кардиоимпульсометрия**: алгоритмы на основе ИИ могут помочь улучшить точность и эффективность интерпретации кардиоимпульсометрии, такой как анализ электрокардиограммы (ЭКГ), эхокардиография и компьютерная томография (КТ) ангиография.
- Стратификация риска: ИИ может использоваться для разработки калькуляторов риска
- Планирование лечения: ИИ может использоваться для разработки персонализированных планов лечения
- **Телемедицина:** ИИ может использоваться для поддержки услуг телемедицины, таких как удаленное наблюдение ЭКГ и управление сердечной недостаточностью.
- Обсуждение проблем и возможностей, связанных с внедрением ИИ в кардиологию, таких как доступность данных, регуляторные барьеры и этические опасения.
- Заключение
- Резюме основных моментов презентации и обсуждение будущего ИИ в кардиологии.
- Вопросы?

## Успеваем ли мы за компьютерами?

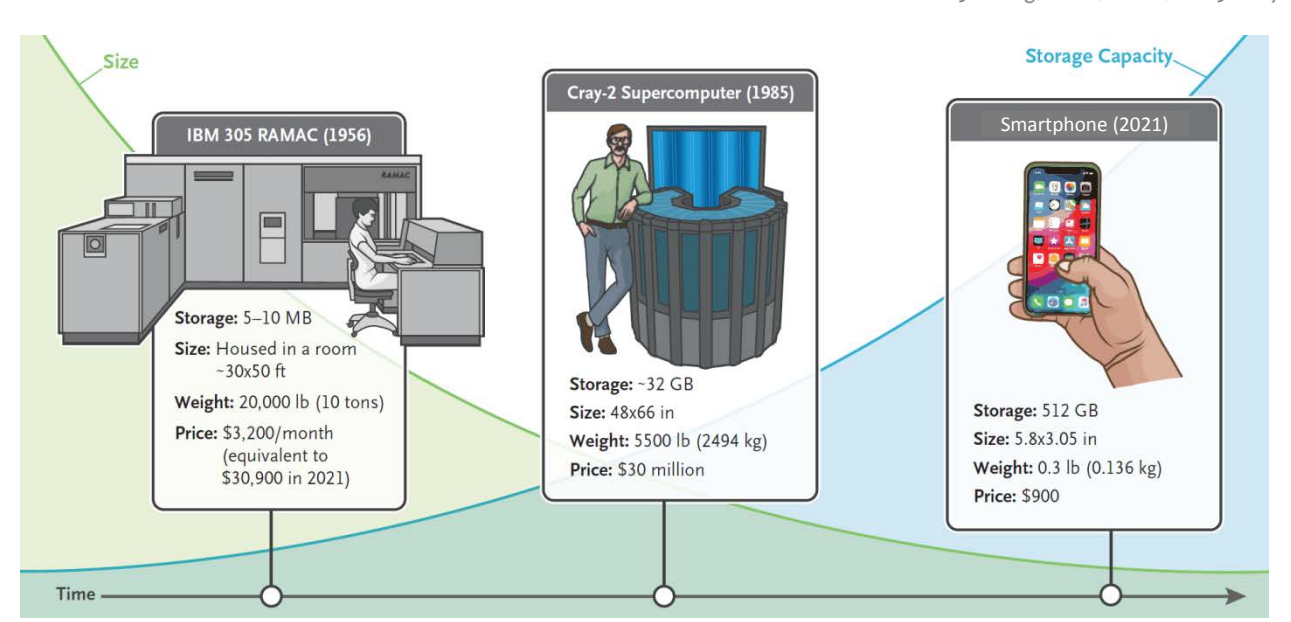
#### REVIEW ARTICLE

Jeffrey M. Drazen, M.D., Editor; Isaac S. Kohane, M.D., Ph.D., and Tze-Yun Leong, Ph.D., Guest Editors

#### ALIN MEDICINE

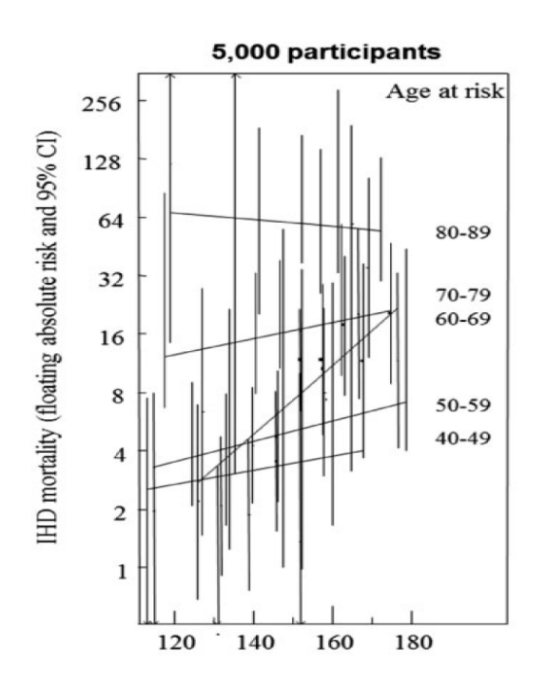
### Artificial Intelligence and Machine Learning in Clinical Medicine, 2023

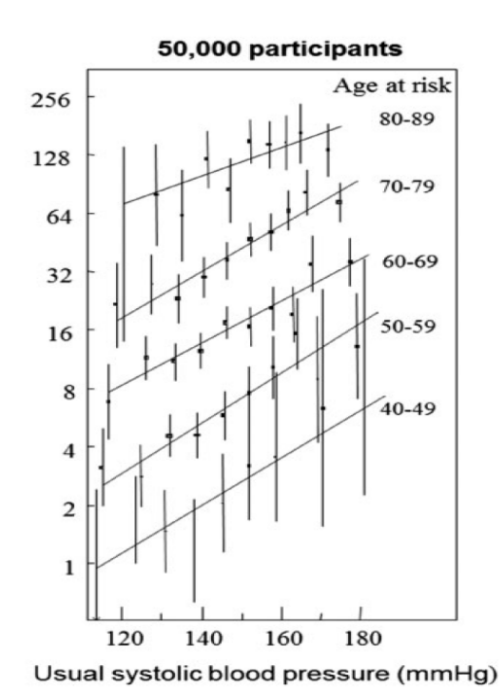
Charlotte J. Haug, M.D., Ph.D., and Jeffrey M. Drazen, M.D.

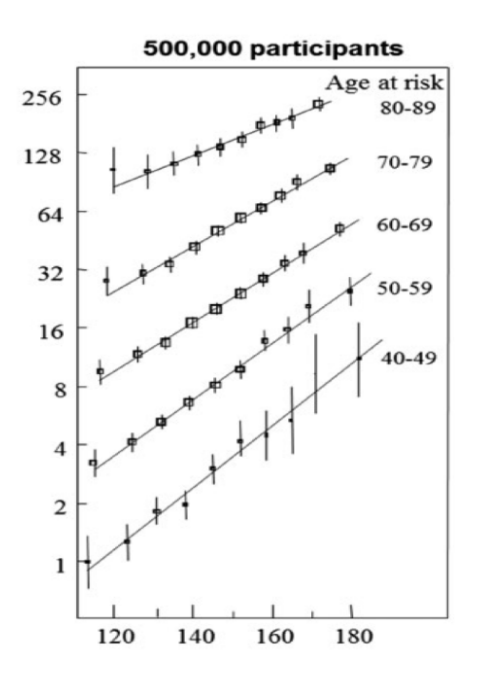


### **UK B**iobank: opportunities for cardiovascular research

Thomas J. Littlejohns<sup>1</sup>\*, Cathie Sudlow<sup>2</sup>, Naomi E. Allen<sup>1</sup>, and Rory Collins<sup>1</sup>







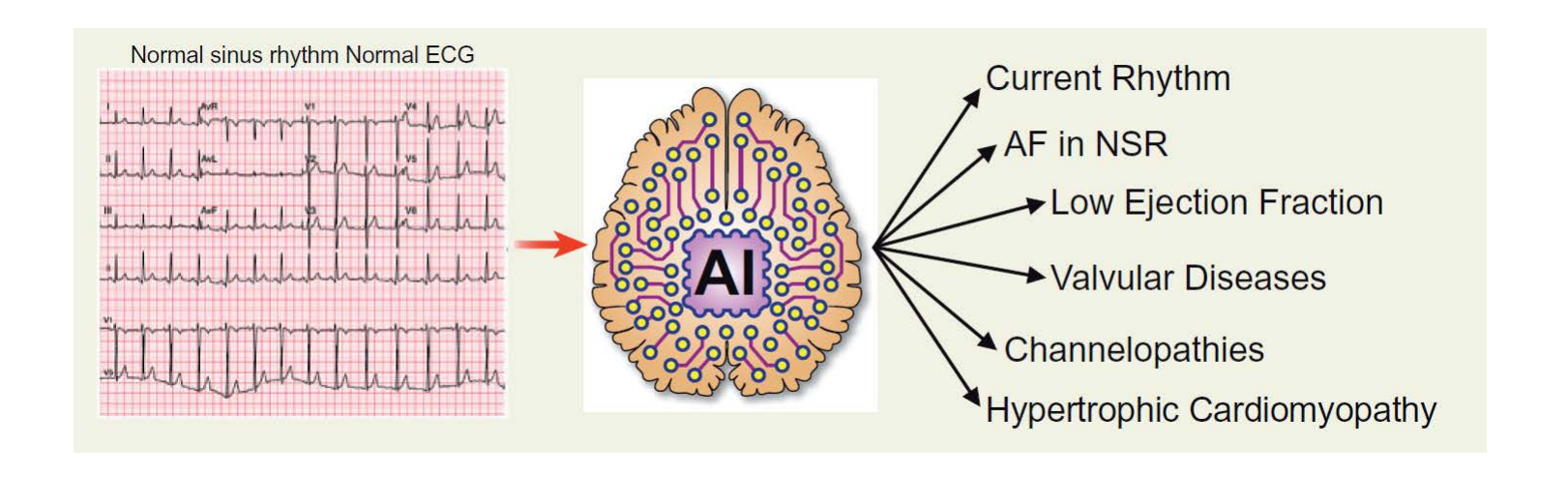
ЭКГ/пульсовая волна



#### Digital health and innovation

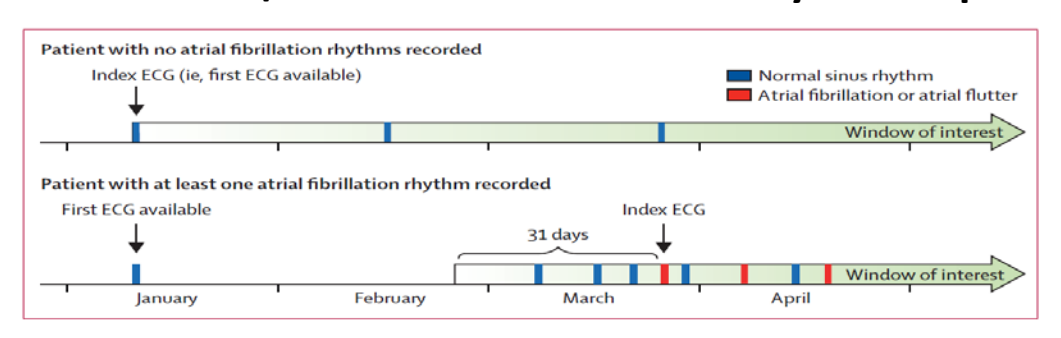
## Application of artificial intelligence to the electrocardiogram

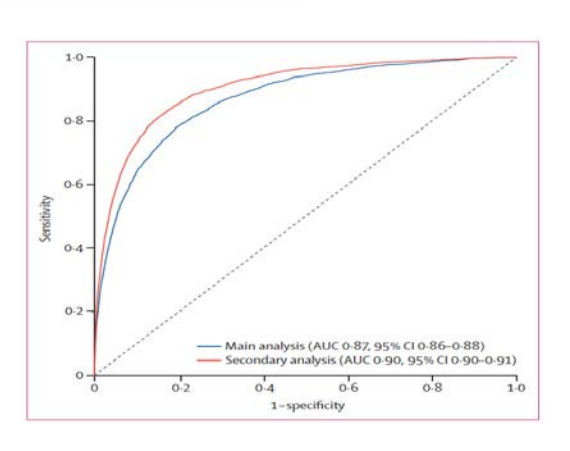
Zachi I. Attia (1) 1, David M. Harmon (1) 2, Elijah R. Behr (1) 3,4, and Paul A. Friedman 1\*





#### 180 922 пациента с 649 931 ЭКГ с синусовым ритмом





	AUC	Sensitivity	Specificity	
Одна ЭКГ	0.87 (0.86-0.88)	79.0% (77.5–80.4)	79.5% (79.0–79.9)	
Все ЭКГ за 31 день	0.90 (0.90-0.91)	82.3% (80.9-83.6)	83.4% (83.0-83.8)	

The Lancet. doi: 10.1016/S0140-6736(19)31721-0.





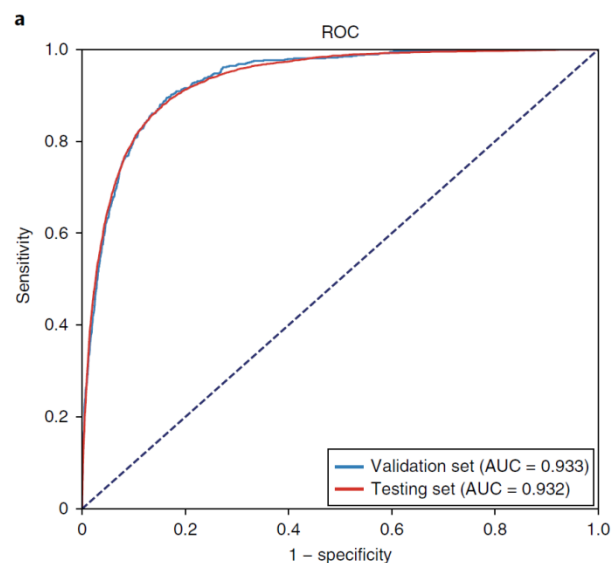
## Screening for cardiac contractile dysfunction using an artificial intelligence-enabled electrocardiogram

Zachi I. Attia¹, Suraj Kapa¹, Francisco Lopez-Jimenez¹, Paul M. McKie ⁰¹, Dorothy J. Ladewig², Gaurav Satam², Patricia A. Pellikka ⁰¹, Maurice Enriquez-Sarano¹, Peter A. Noseworthy ⁰¹, Thomas M. Munger¹, Samuel J. Asirvatham¹, Christopher G. Scott³, Rickey E. Carter ⁰⁴ and Paul A. Friedman ⁰¹\*

ROC — анализ выявления ФВ ≤ 35% с помощью ЭКГ-12

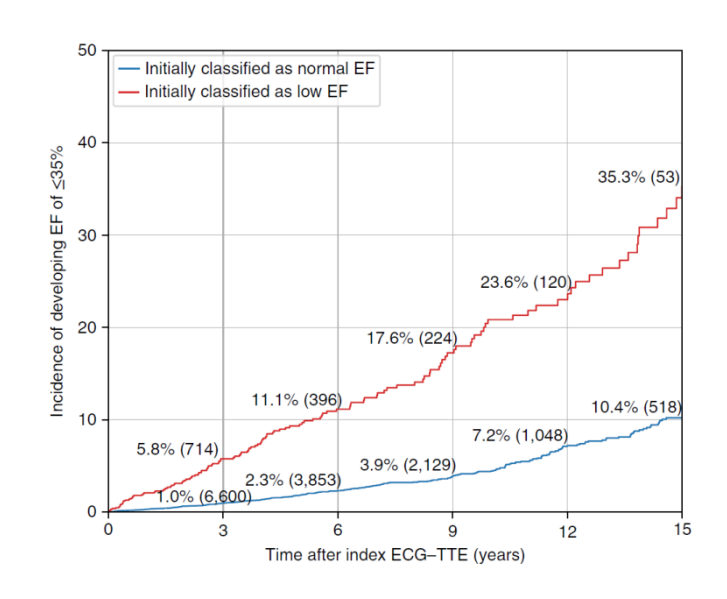
44,959 пациентов

AUC 0.93 Чувствительность 86.3% Специфичность 85.7% Диагностическая точность 85.7%



# Прогноз пациентов без дисфункции ЛЖ с положительными ЭКГ признаками ИИ-алгоритма

**52,870 patients** ОШ 4.1; 95% ДИ (3.3-5.0)



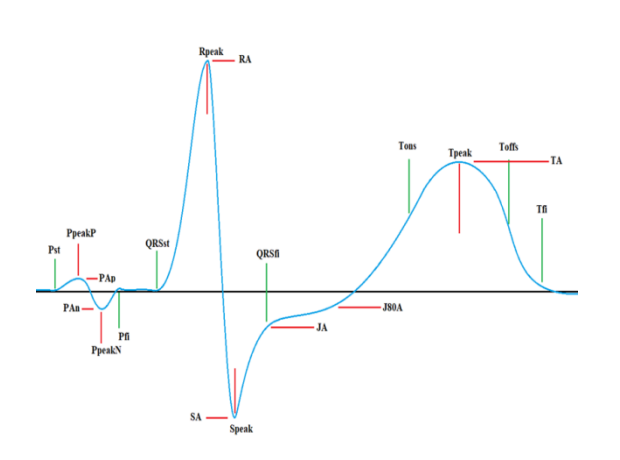
## Удаленный анализ систолической и диастолической функции ЛЖ по 1-канальной ЭКГ и пульсовой волне



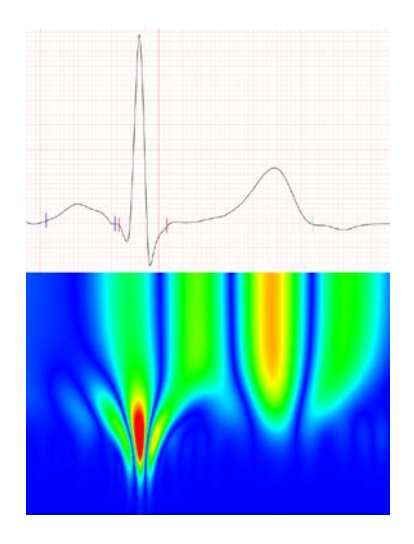
Полоса пропускания 0,5–25 Гц Цикл ЭКГ - усредненный за 3 минуты усредненного RR

Частотой дискретизации 200 Гц Интервалы от виртуальной точки - 2/3 от

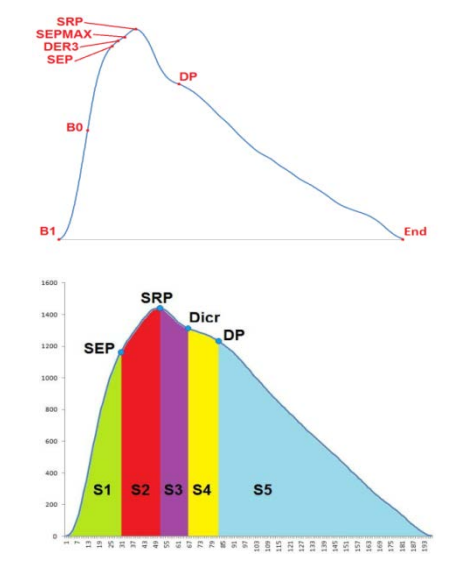
Временной, амплитудный и морфологический анализ одного канала ЭКГ

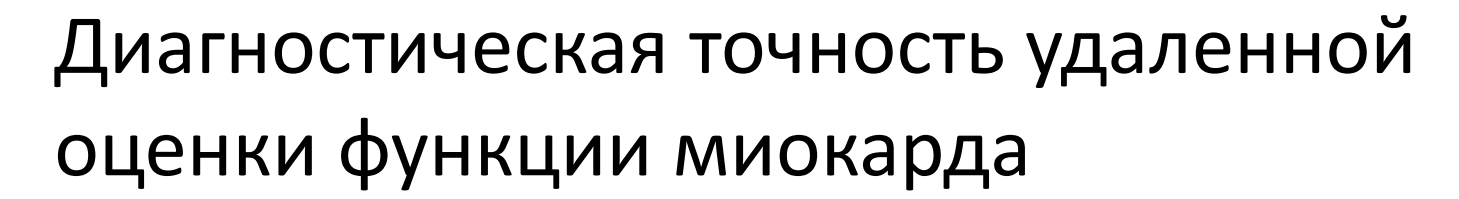


Частотное Wavelet преобразование Фурье



Временной, амплитудный и морфологический анализ пульсовой волны







Всего пациентов включено в исследование: 1556 Набор пациентов 2019-2022 г.г.

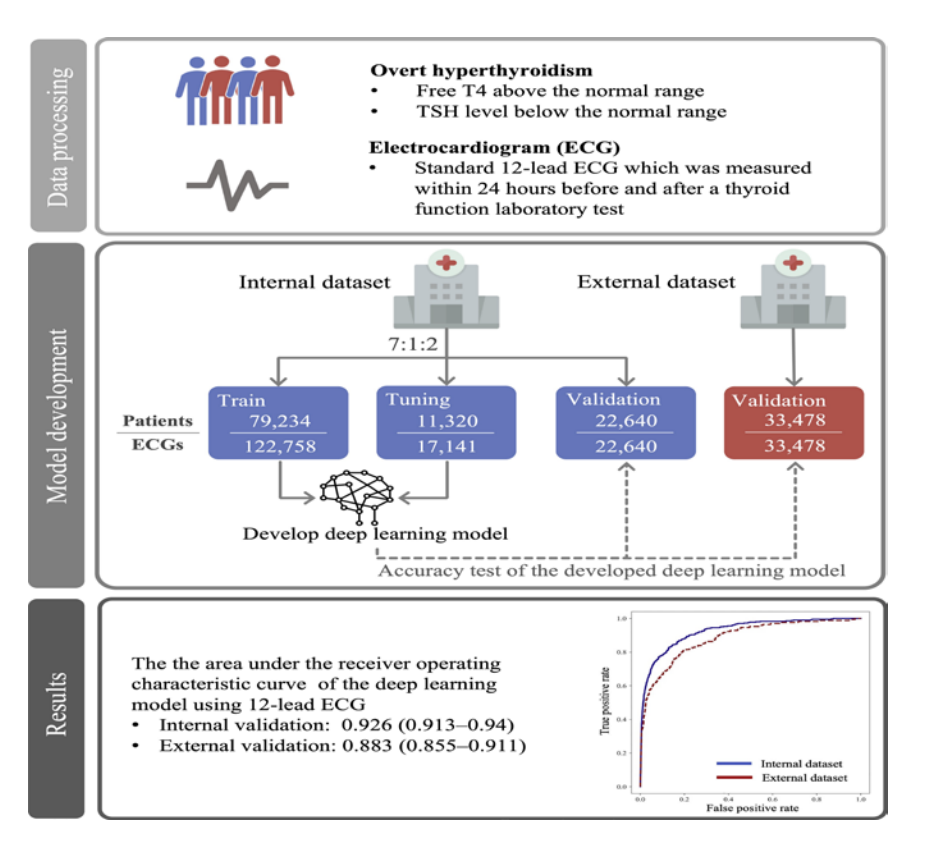
Обучающая выборка: 956 Разработка алгоритма 2022 г.

Тестовая выборка 300 Апробация алгоритма 2022-23 г.г.

Выборка для клинической апробации 300

Показатель	Диастолическая дисфункция	Систолическая дисфункция	
Чувствительность (Recall)	80,0 %	79,5 %	
Precision	76,2 %	77,5 %	
F1 score	78,05%	78,5 %	
Специфичность	96,15 %	96,5 %	
Диагностическая точность	93,9 %	94,3 %	

### ЭКГ и гипертиреоидизм



#### 12-канальная ЭКГ

внутренняя валидация AUC 0.889 внешняя валидация AUC 0.847

#### 1-канальная ЭКГ

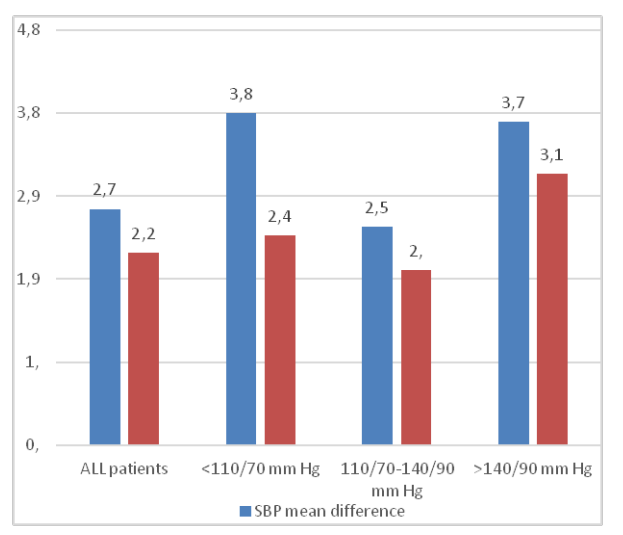
внутренняя валидация AUC 0.906 внешняя валидация AUC 0.882

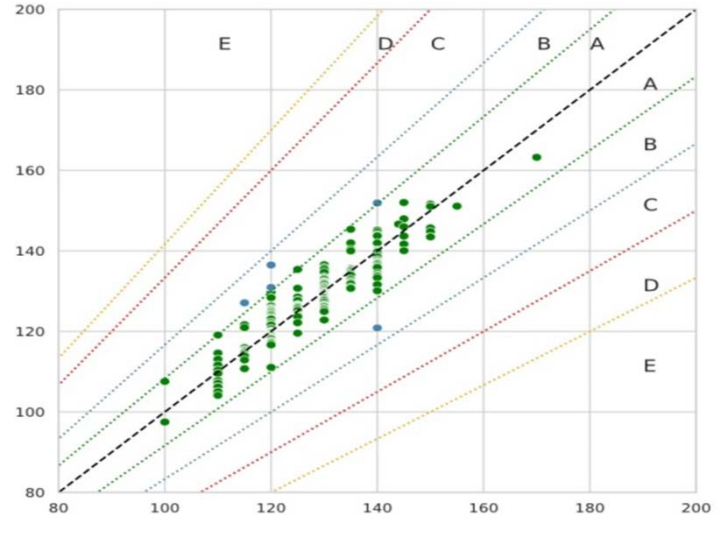


## Безманжетное определение уровня артериального давления



Всего пациентов включено в исследование:	1080	Набор пациентов	2018-21 г.г.
Обучающая выборка:	680	Разработка алгоритма	2021 г.
Тестовая выборка	200	Апробация алгоритма	2022 г.
Выборка для клинической апробации	200		

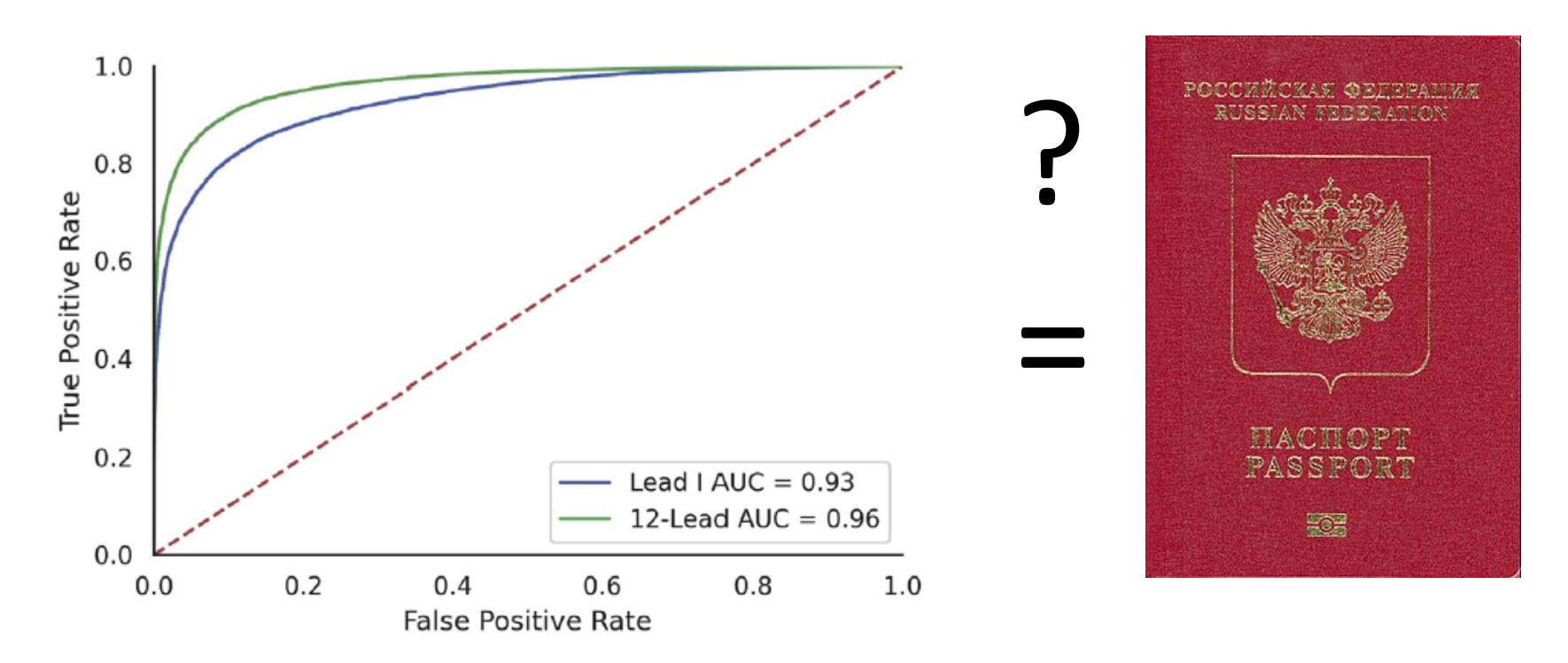






Гогиберидзе Н.А., Сагирова Ж.Н., Кузнецова Н.О., Чомахидзе П.Ш., [и др.]. Сравнение безманжетного измерения артериального давления с помощью монитора электрокардиограммы с функцией фотоплетизмографии с измерением по методу Короткова: пилотное исследование. Сеченовский вестник. 2021; 12(1): 39–49. https://doi.org/10.47093/2218-7332.2021.12.1.39-49

### ЭКГ-биометрия – так ли уж невозможно??



15 024 ЭКГ для 983 различных пациентов

https://doi.org/10.1016/j.cvdhj.2022.07.037

Эхокардиография

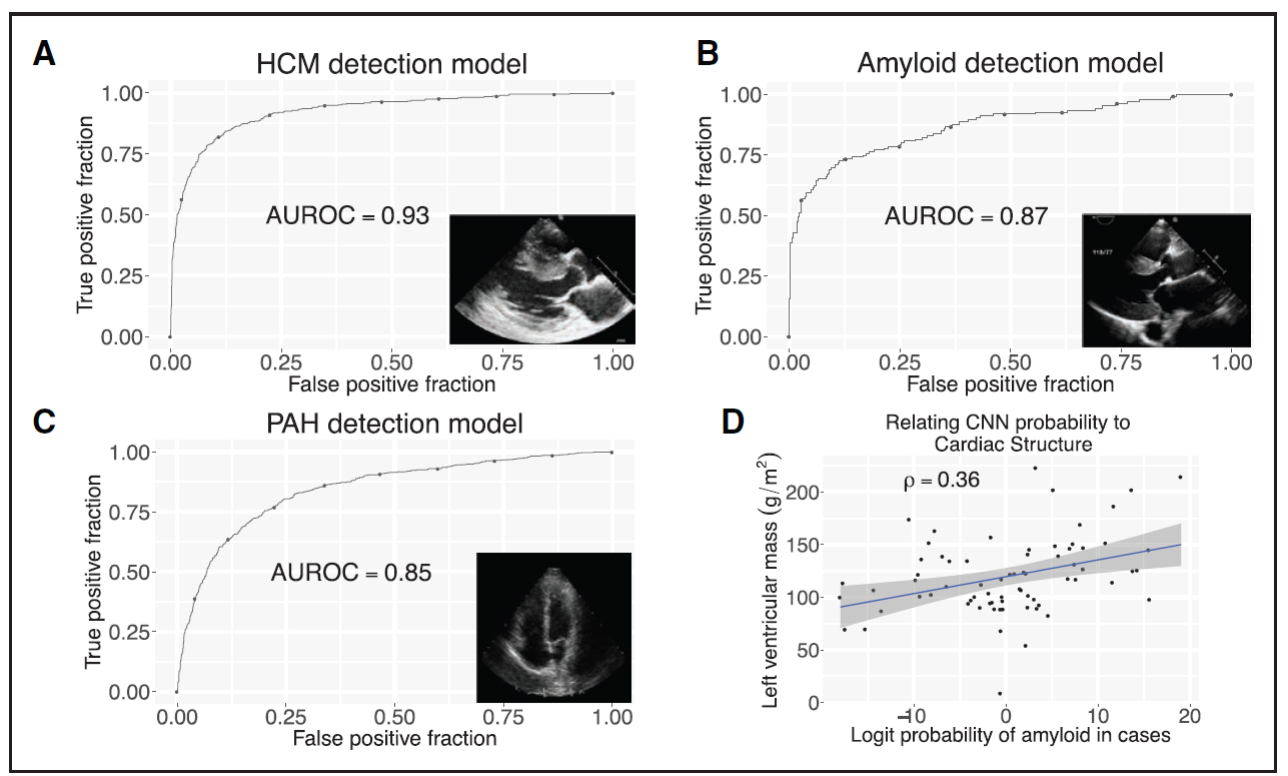
### Автоматическая эхокардиография

#### <u>Circulation</u>

#### ORIGINAL RESEARCH ARTICLE

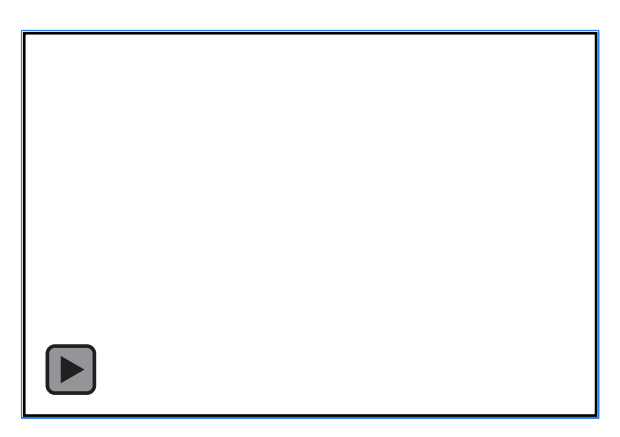
### **Fully Automated Echocardiogram Interpretation in Clinical Practice**

Feasibility and Diagnostic Accuracy



### ЭХОКГ с использованием искусственного интеллекта

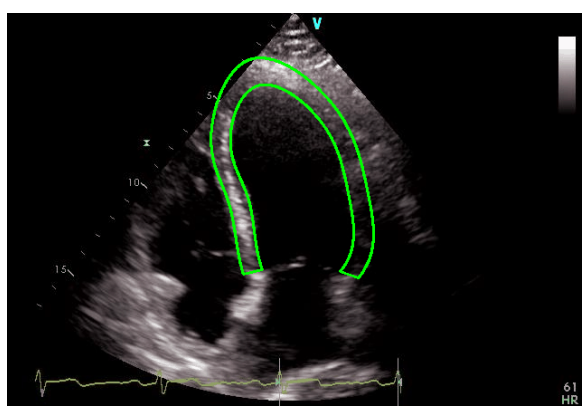




Сравнительная оценка качества вариабельности ЭХОКГ исследований

Метод	Характеристика	Врач	Применение МИ с ИИ
ЭХОКГ	Внутриисследовательская вариабельность	13 %	1-2%
	Межисследовательская вариабельность	21 %	2-3%

Повышение качества >10 раз



Сравнительная оценка времени выполнения ЭХОКГ исследований

Метод	Характеристика	Врач	Применение МИ с ИИ
ЭХОКГ	Время сканирования (мин.)	24	19
	Время измерений (мин.)	23	12
	Время формирования заключения (мин.)	13	9
	Общее время исследования (мин.)	60	40

Сокращение времени на 1 исследование >30%

### Медсестра-специалист по ЭхоКГ?

Nurse-led home-based diagnosis of heart failure by cardiac ultrasound: Results of the CUMIN study

Jasper Tromp (1), Faouzi Addad MD (2), Yoran Hummel PhD (3), Carolyn SP Lam MBBS PhD (4), Alexandre Mebazaa MD (5) on behalf of the CUMIN investigators

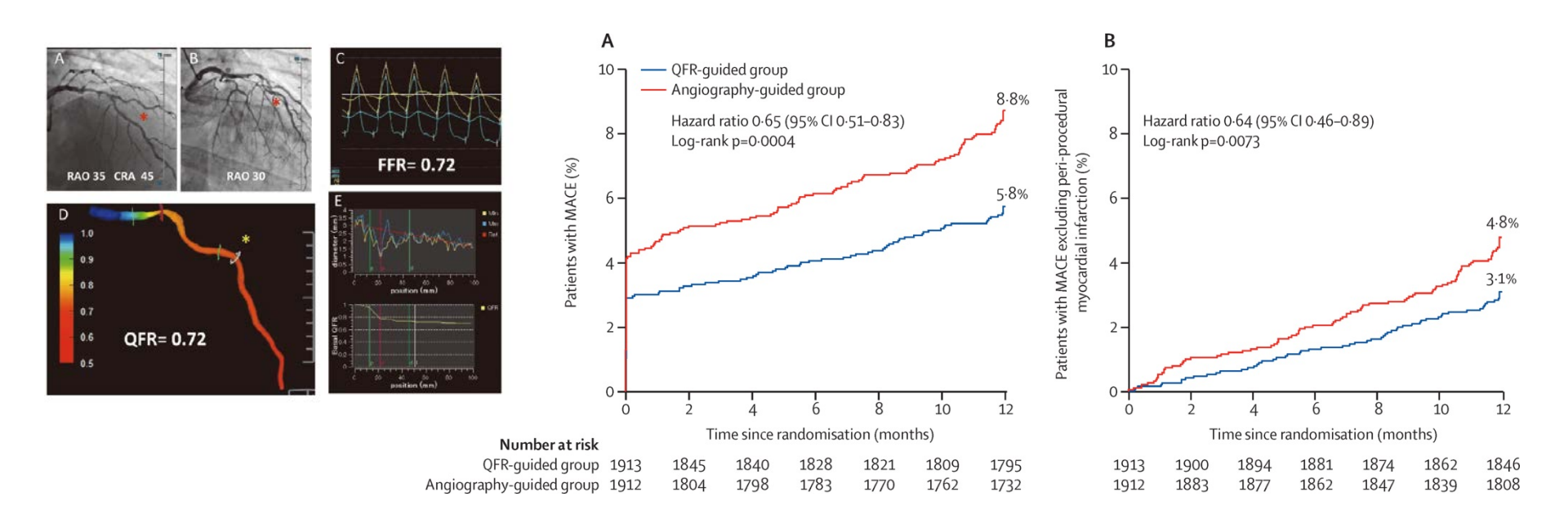


- 5 медсестер
- 94 пациента
- 1 день обучения
- 5 портативных эхокардиографов
- 1 ИИ-алгоритм

	N*	AUC (95%)	Sens (95%)	Spec (95%)	PPV (95%CI)	NPV (95%CI)
AI-POCUS						
Primary outcome	65	0.86 (0.77-0.96)	92 (62-99)	81 (68-91)	52 (30-74)	98 (88-99)
LVEF	75	0.85 (0.71-0.98)	80 (44-98)	89 (79-96)	53 (27-79)	97 (89-99)
LAVi	64	0.82 (0.62-1.00)	80 (28-99)	85 (75-93)	31 (10-61)	98 (89-100)
NTproBNP >125 pg/mL						
Primary outcome	76	0.64 (0.53-0.75)	87 (60-98)	41 (29-54)	27 (15-41)	93 (76-99)
LVEF	76	0.66 (0.55-0.76)	91 (59-99)	40 (28-53)	20 (10-34)	96 (81-99)
LAVi	76	0.60 (0.43-0.78)	83 (36-99)	37 (26-50)	10 (3-22)	96 (81-99)

Коронарный кровоток

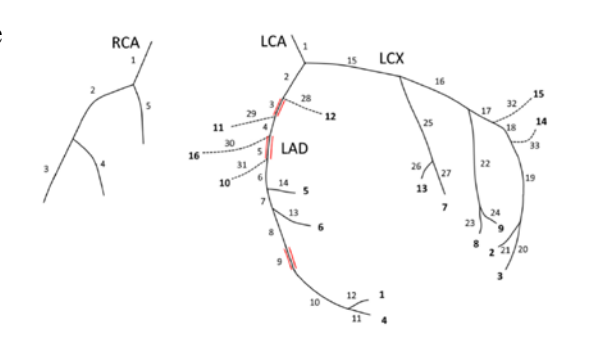
## Angiographic quantitative flow ratio-guided coronary intervention (FAVOR III China): a multicentre, randomised, sham-controlled trial

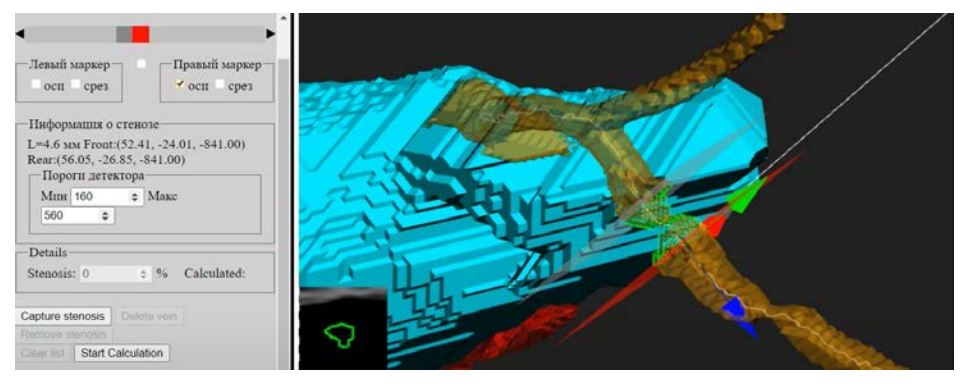


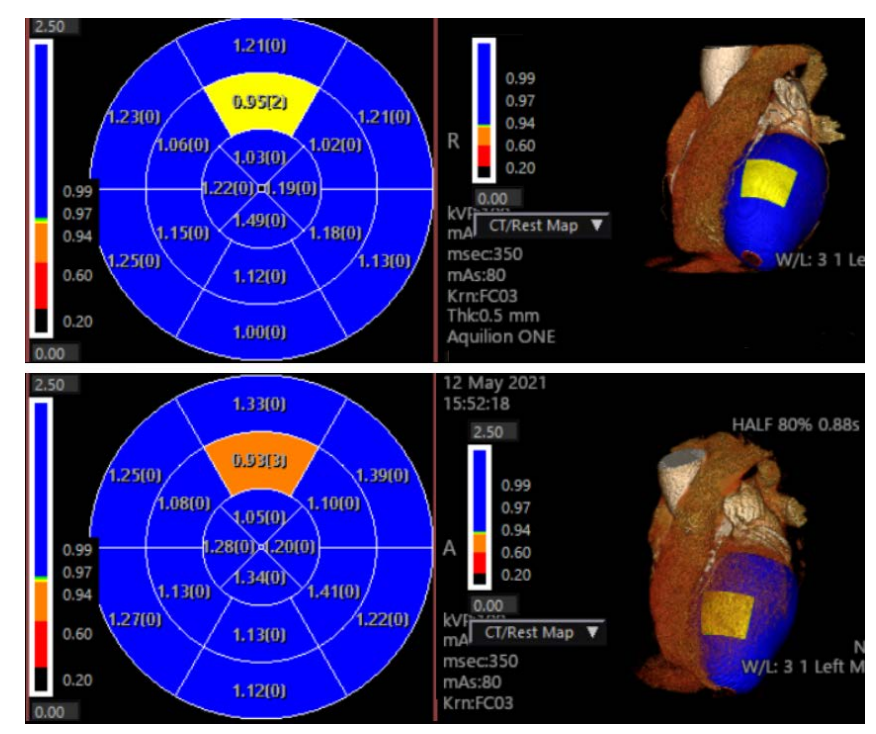
## Персонализированная модель коронарного кровотока с учётом данных КТ – перфузии



Алгоритмы и программное обеспечение для сегментации медицинских изображений и создание геометрических моделей, для автоматического расчета степени стеноза коронарных артерий

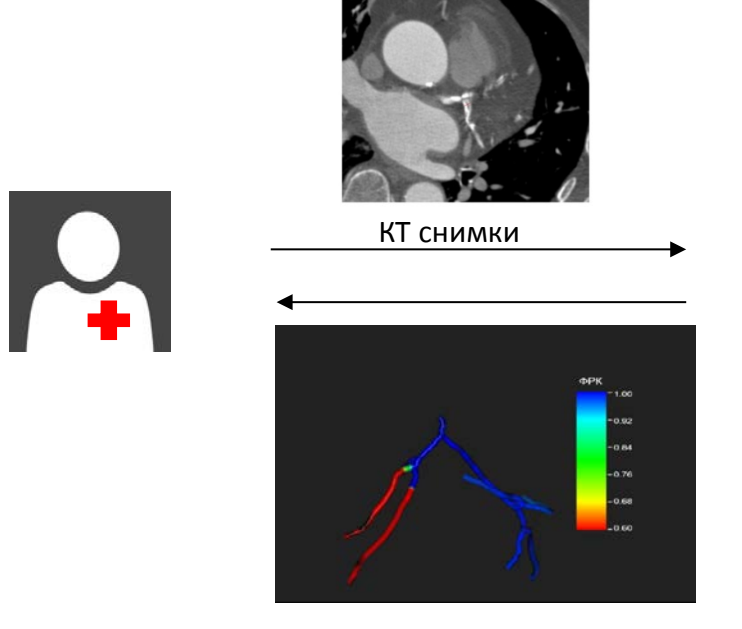




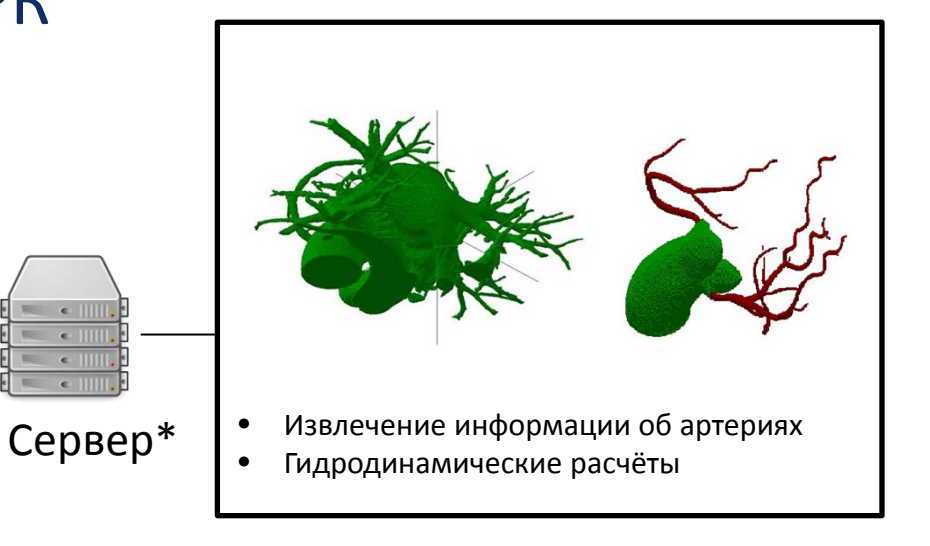




### Неинвазивная оценка ФРК



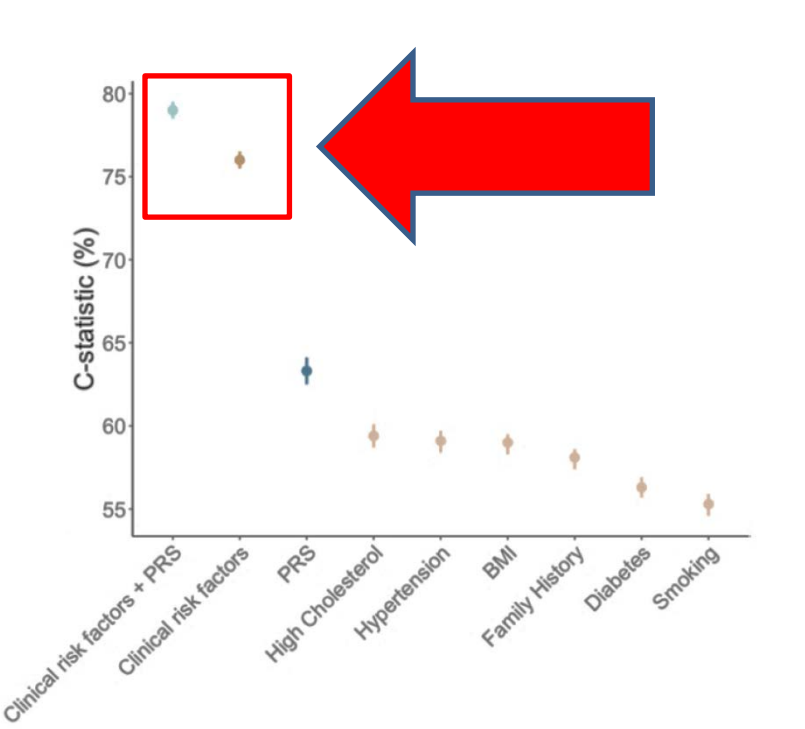




\* — может быть размещён локально (в клинике)

Оценка риска ССЗ

### Роль полигенных шкал в оценке СС-риска



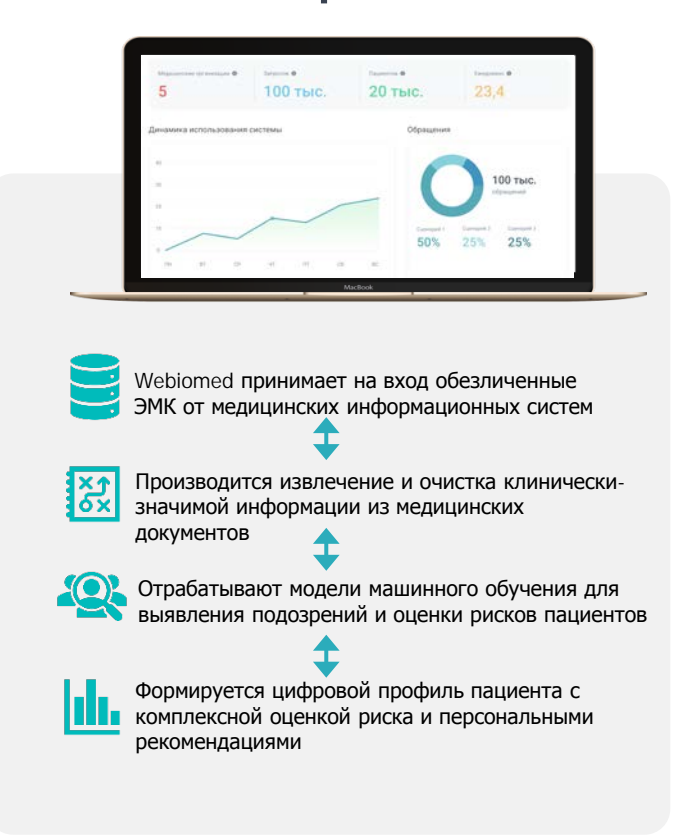
#### <u>Circulation</u>

#### **AHA SCIENTIFIC STATEMENT**

Polygenic Risk Scores for Cardiovascular Disease: A Scientific Statement From the American Heart Association

Среди взрослых людей среднего возраста полигенная шкала риска ИБС работает так же, как и обычные факторы риска, и предоставляет дополнительную прогностическую информацию об ИБС, однако клиническое значение этого улучшения является спорным.

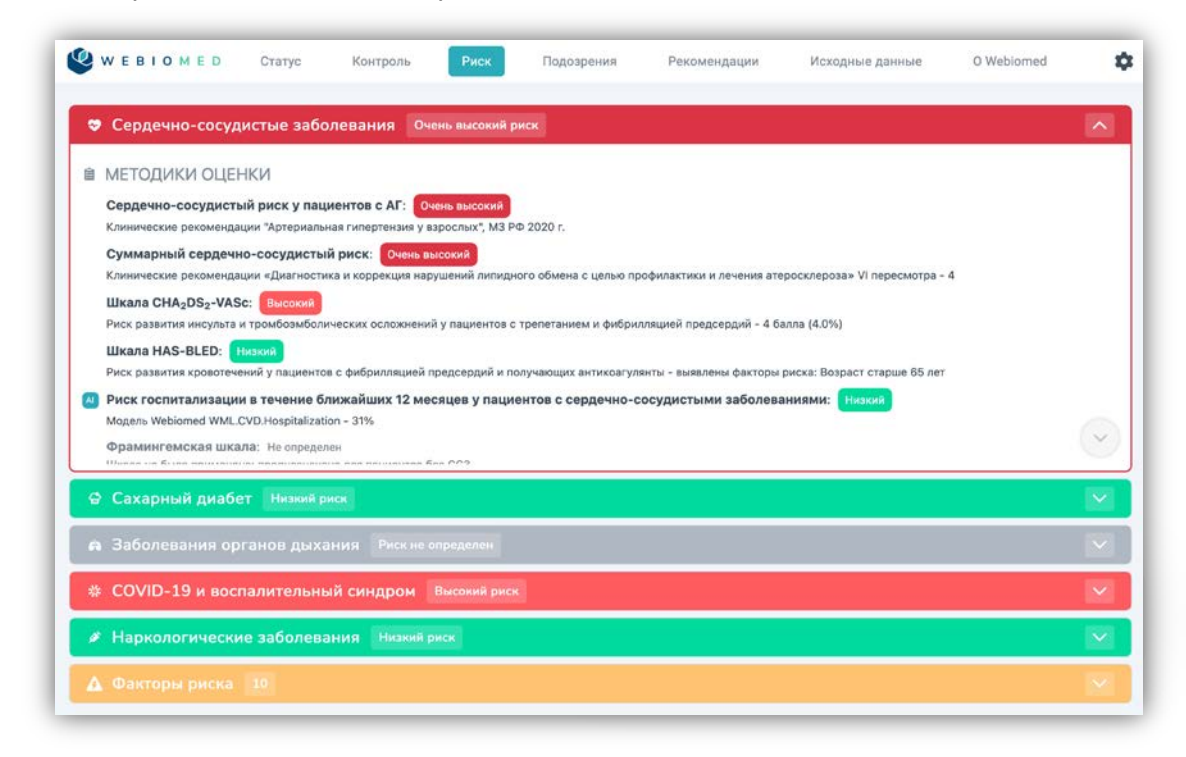
### Оценка рисков в платформе Webiomed



**В 52%** случаев система дает более точную оценку СС-риска

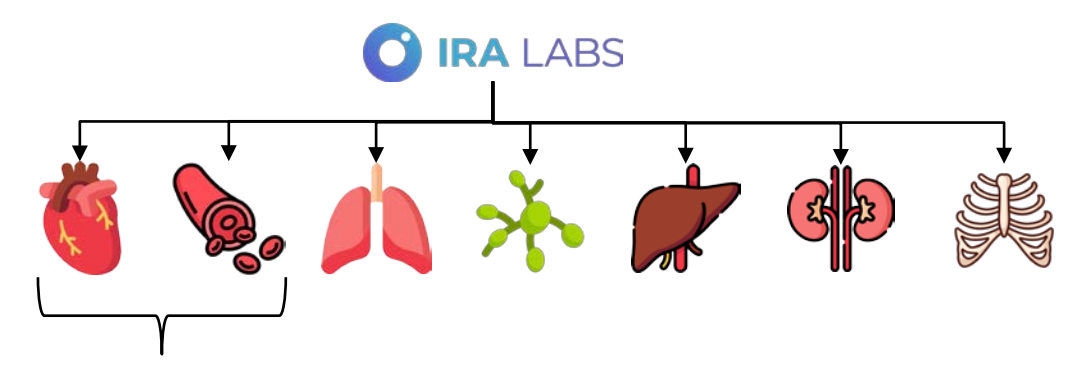


Рекомендации СППВР, включая выявленные факторы риска, оценки рисков и персональные прогнозы возможного ухудшения заболеваний, выявленные подозрения на заболевания и рекомендации



### ИИ-алгоритмы от IRA LABS для оценки сердечно-сосудистых рисков

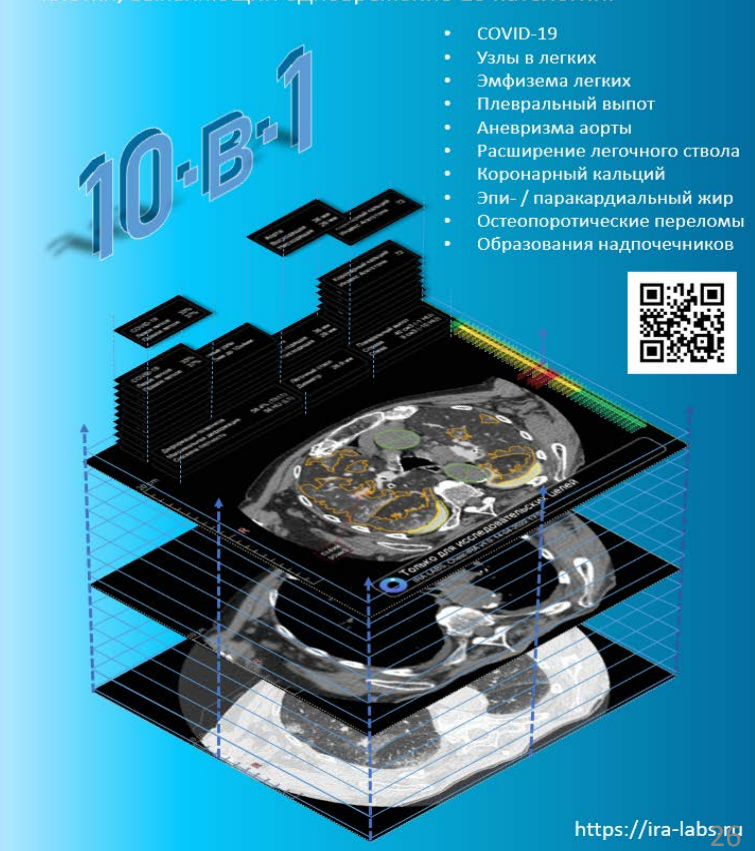
Автоматическая оценка лучевых биомаркеров **ДЛЯ** каждого КТ-исследования грудной и брюшной полости:



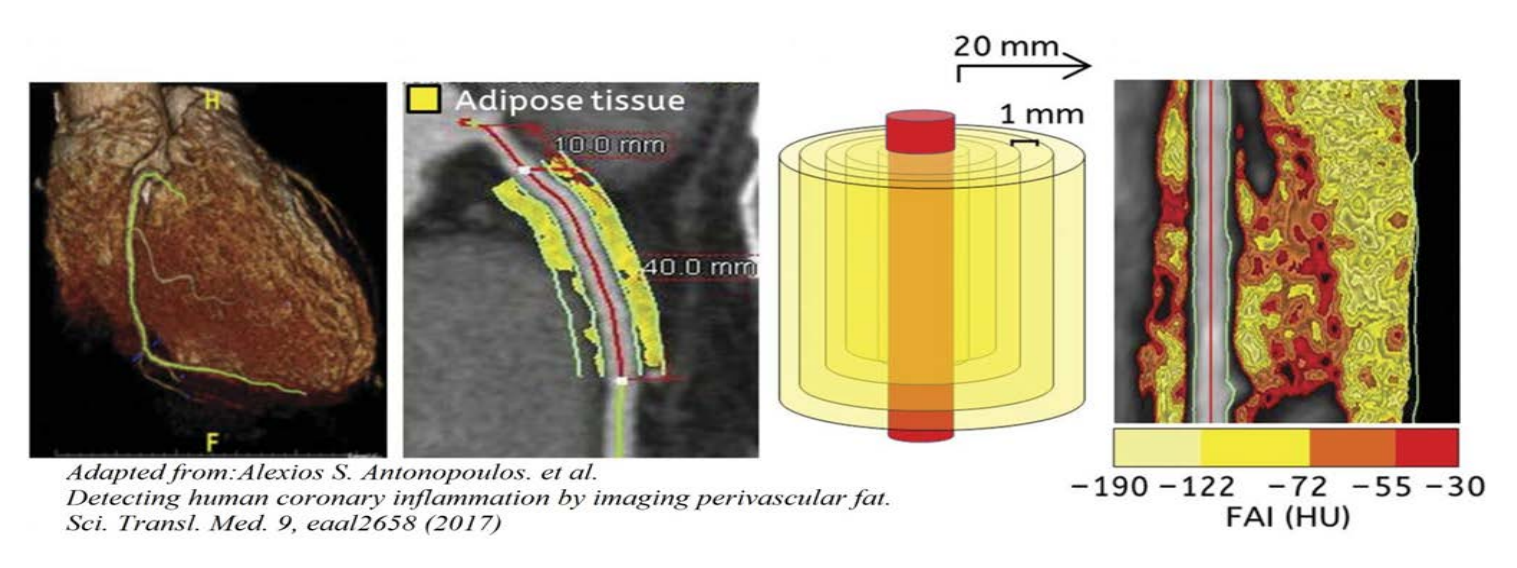
- 1) Коронарный кальций индекс Агатстона (120-125)
- 2) Эпикардиальный жир волюметрия и плотность (I20-I25)
- 3) Паракардиальный жир волюметрия и плотность (I20-I25)
- 4) Грудная аорта дилатация и аневризма (I70, I71)
- 5) Брюшная аорта дилатация и аневризма (I70, I71)
- 6) Расширение легочного ствола легочная гипертензия (I27)
- 7) Аортолегочный индекс (I27)



Multi-IRA - первый комплексный сервис искусственного интеллекта для компьютерной томографии органов грудной клетки, выявляющий одновременно 10 патологий:

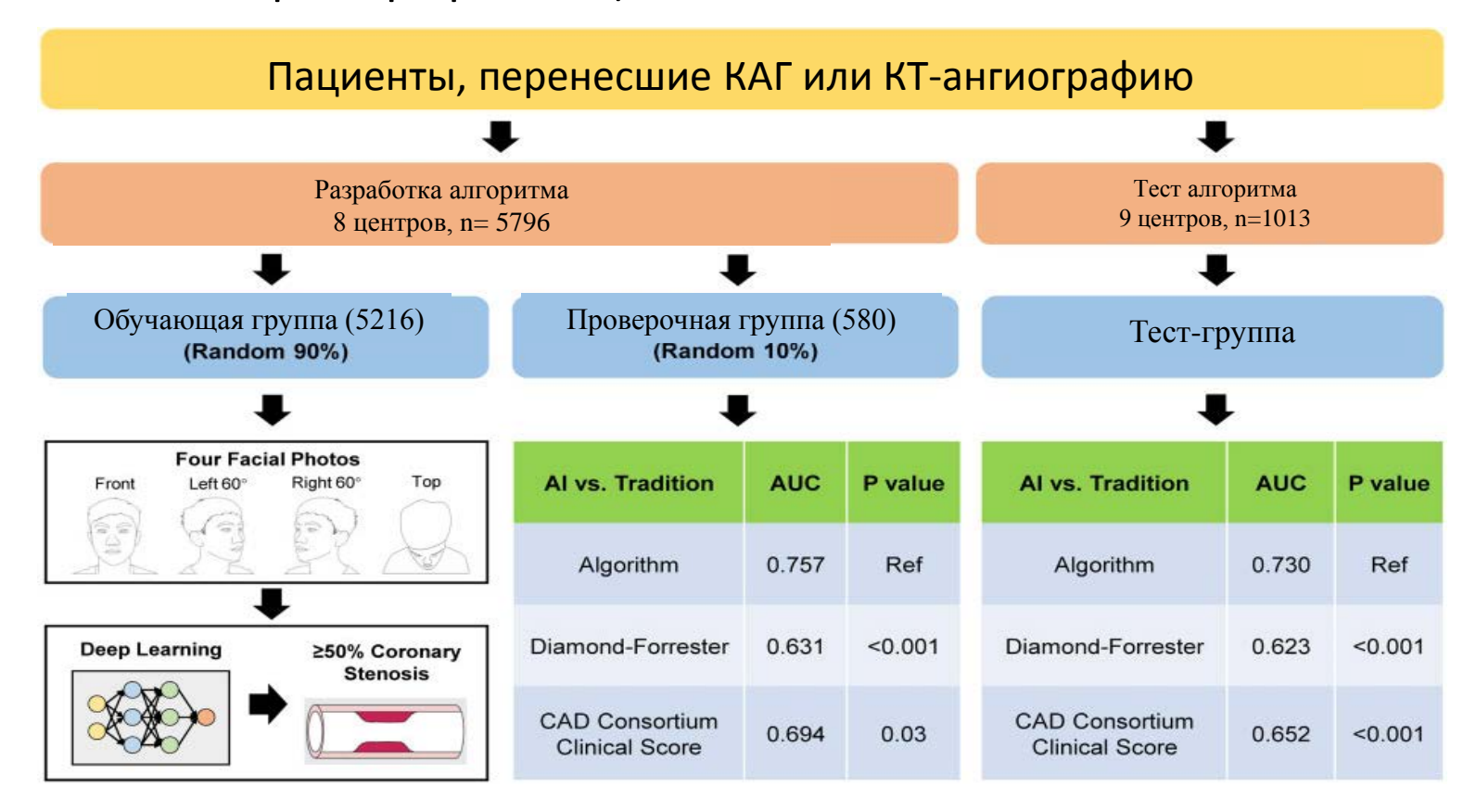


#### Периваскулярный жир



Неинвазивная оценка нестабильности атеросклеротических поражений и выявление атеросклероза на ранних стадиях формирования бляшек на основании данных обычной КТ ангиографии по анализу структуры и плотности периваскулярной жировой ткани

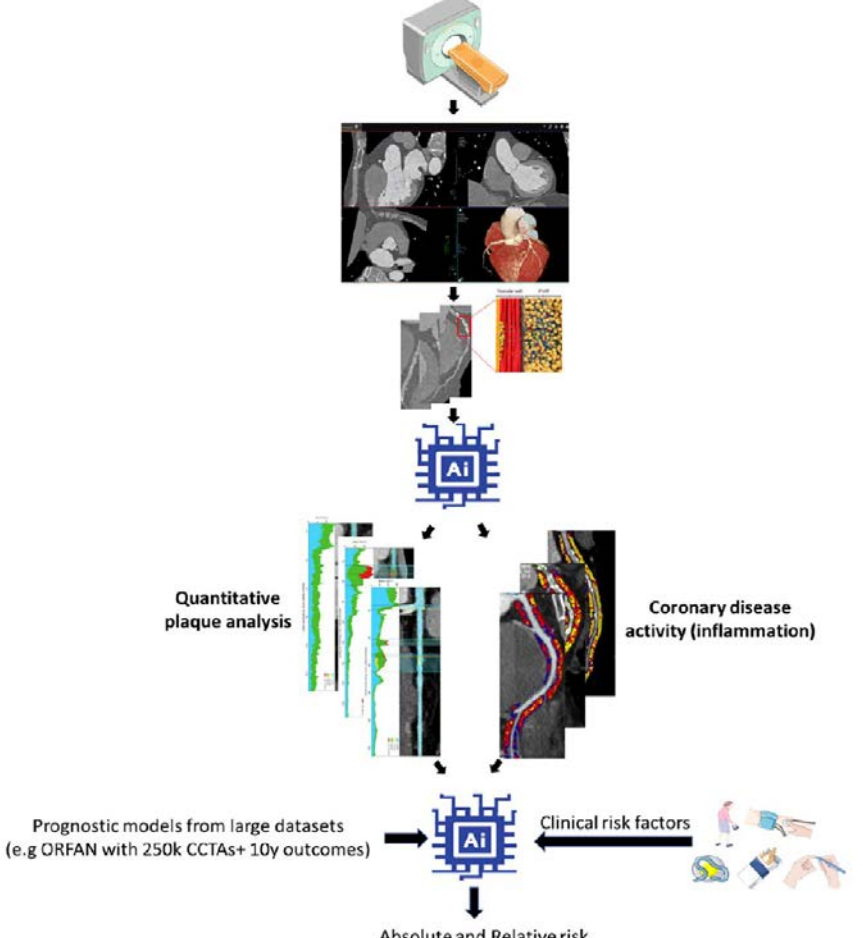
### Возможность использования глубокого обучения для обнаружения ИБС на основе фотографии лица



Shen Lin, Zhigang Li et.al. European Heart Journal (2020)

### Новый подход к оценке риска субклинического коронарного атеросклероза

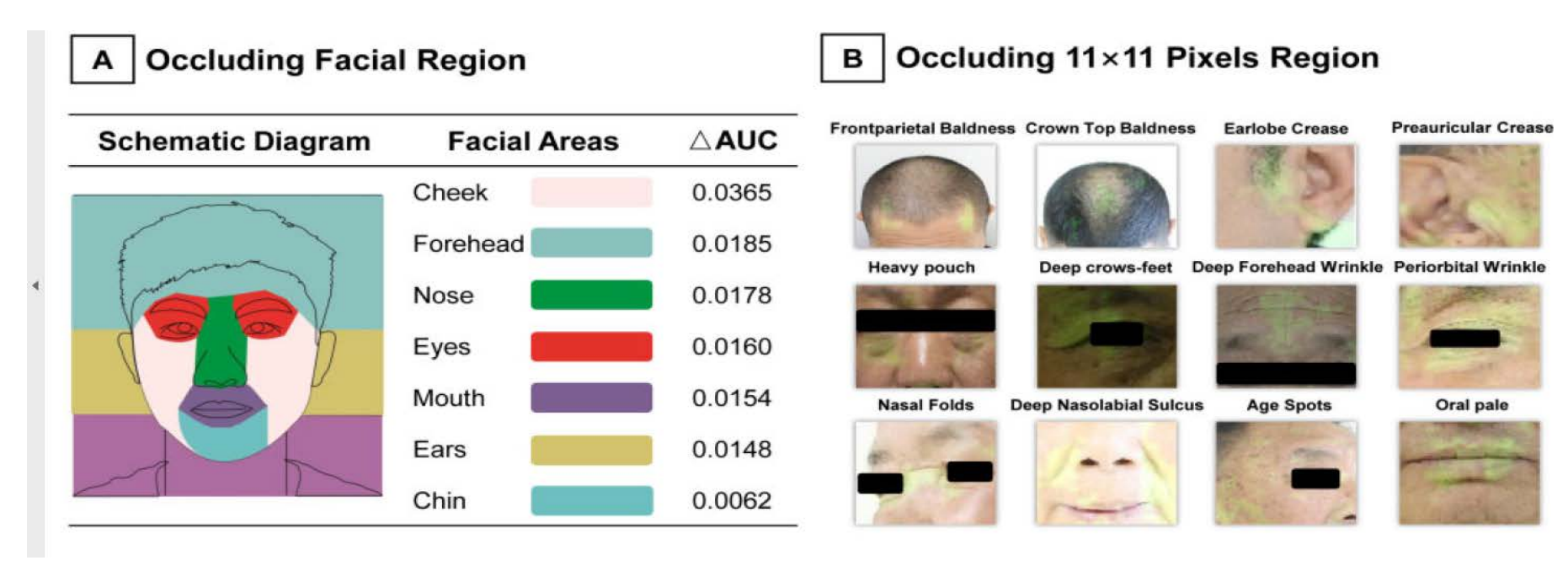
- Анализ структуры атеросклеротической бляшки
- Оценка FAI Fat Attenuation Index



Absolute and Relative risk

Management based on clinical guidelines

### Важные области лица



В тестах, закрывающих области лица, AUC определяла снижение производительности алгоритма после перекрытия определенной области лица.

Зеленые области были выделены алгоритмом как важные для обнаружения

### «Ночной кошмар» для врачей?

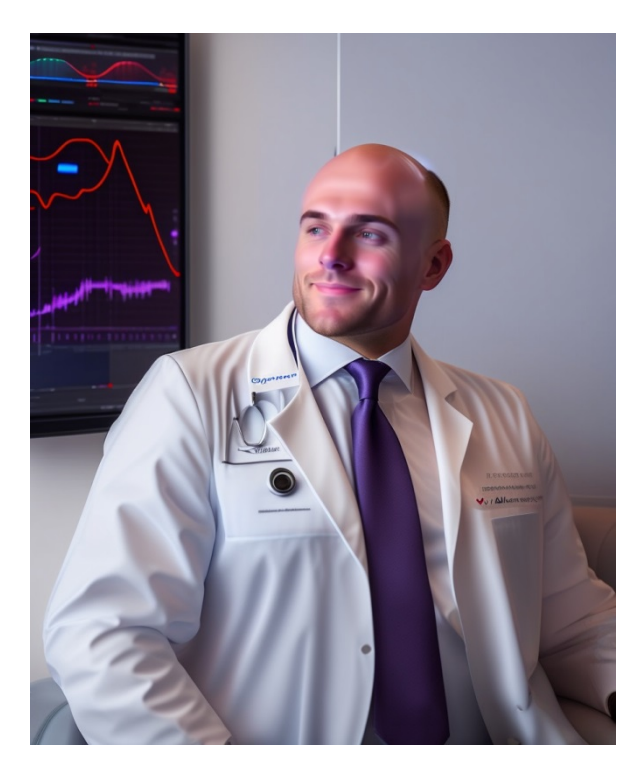


### High-performance medicine: the convergence of human and artificial intelligence

Eric J. Topol 10



### Спасибо за внимание!



Cardiologist Philipp Kopylov using Al-algorithm for ECG Created by Lexica